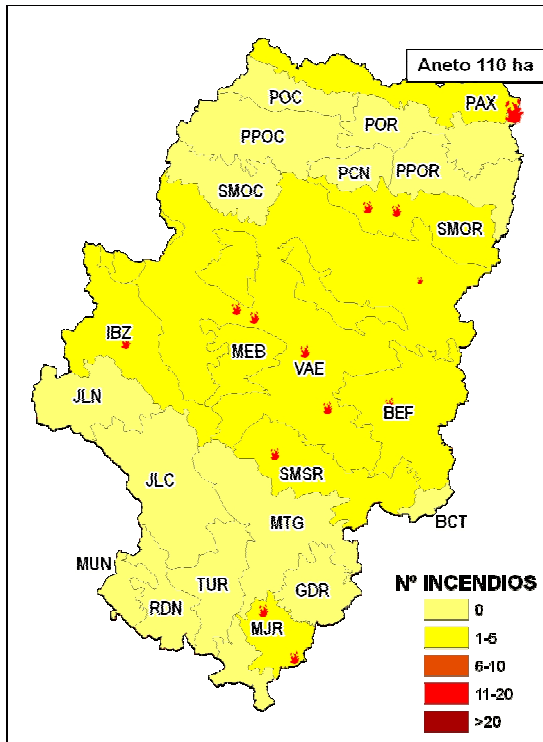


BOLETIN DE SEGUIMIENTO DE LOS INCENDIOS FORESTALES EN ARAGÓN Nº 1/13

08/02/2013

¿QUÉ HEMOS TENIDO?



A lo largo de los últimos 3 meses se han producido un total de 14 incendios, de los cuales 13 de ellos no superaron las 2 ha. Estos valores se sitúan muy por debajo de los valores medios para los meses de noviembre y diciembre, ya que solamente enero registró 8 incendios.

Las causas

El incendio más importante se da el día 5 de enero y fue de origen intencionado. Durante esa misma noche y la mañana del día 6 ardieron un total de 110 ha forestales (pasto y pinar).

	Enero 2013	
	01/01-31/01	Promedio histórico
Nº incendios	8	15
Sup. Forestal quemada (ha)	113	14,5

El mes de enero comienza con menos incendios de lo habitual (8 frente a 15 de media) pero con una superficie forestal quemada muy superior, 113 ha respecto a las 14,5 ha medias del mes de enero.

Figura 1. Distribución de incendios según zonas de meteoalerta durante los últimos tres meses

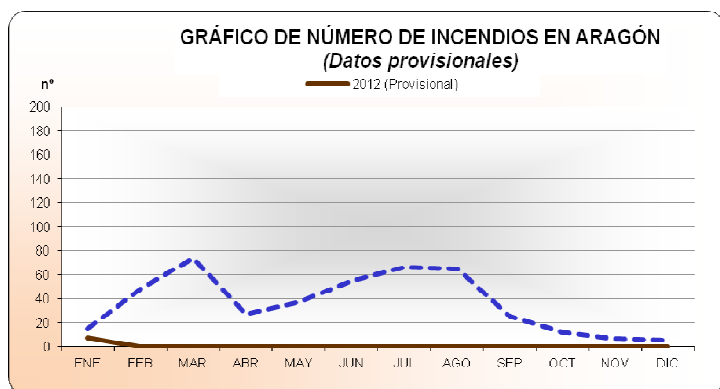


Gráfico 1. Número de incendios en Aragón durante el mes de enero de 2013 y promedio histórico

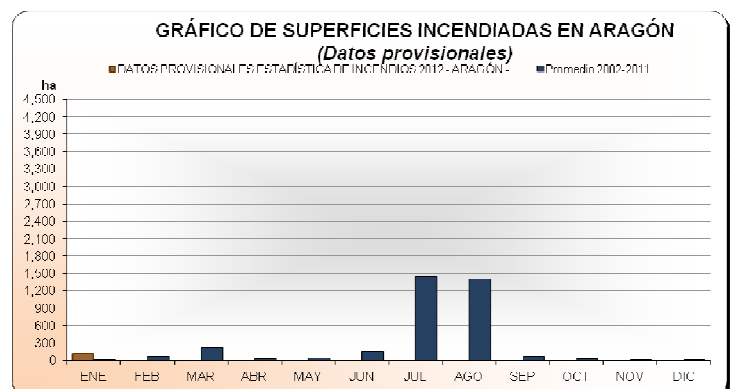


Gráfico 2. Superficie quemada en Aragón durante el mes de enero de 2013 y promedio histórico

SEGUIMIENTO METEOROLÓGICO

Situación meteorológica octubre de 2012 a enero de 2013 *(en adelante octubre-enero)*

Precipitación

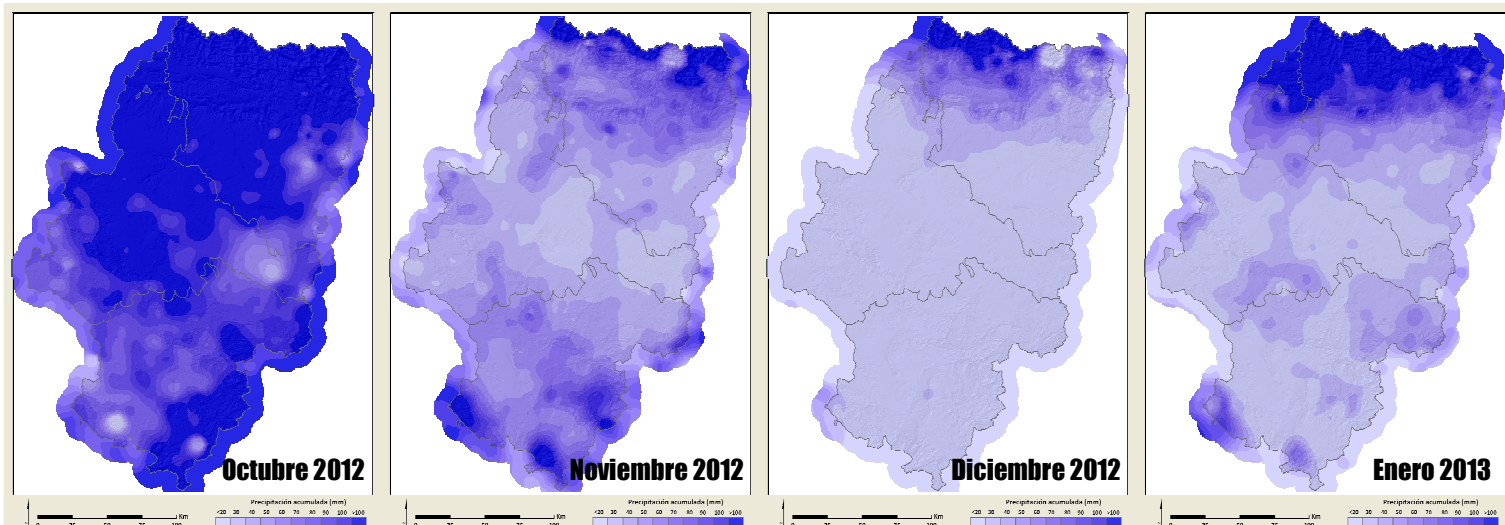


Figura 2, 3, 4 y 5. Precipitación mensual recogida de octubre a enero en Aragón

Anomalía en la precipitación

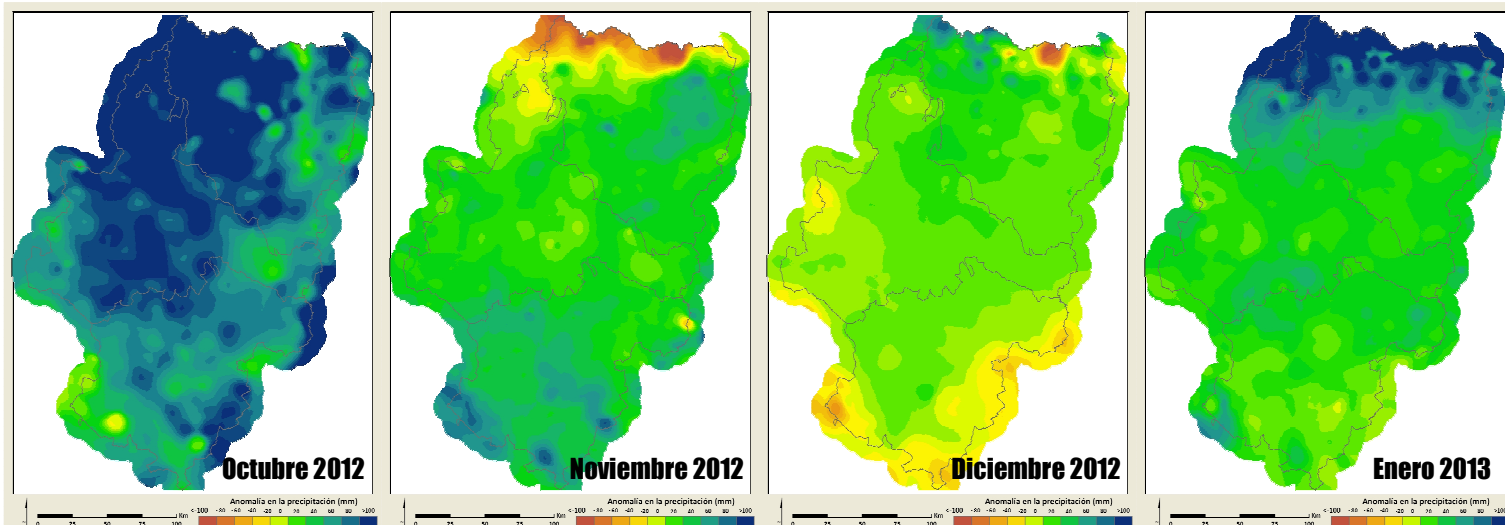


Figura 6, 7, 8 y 9. Anomalía de la precipitación mensual recogida de octubre a enero en Aragón

El mes de octubre fue un mes muy húmedo en la práctica totalidad de nuestra región. En algunas zonas de la Comunidad se registraron precipitaciones tres veces superiores al promedio del mes. Noviembre fue húmedo en muchas zonas de Teruel y normal-húmedo en el resto, a excepción del Pirineo Central y Occidental donde resultó seco o muy seco. En Diciembre, las precipitaciones han sido más escasas de lo normal en bastantes zonas de Aragón y en relación a su media varias zonas de Teruel, Moncayo y Pirineo Oriental han sido los lugares más secos.

En Enero las precipitaciones han registrado valores normales en gran parte de Aragón, a excepción del Pirineo que, gracias a las copiosas nevadas, ha presentado valores más altos de lo habitual.

HUMEDAD DEL COMBUSTIBLE

Índice de sequía acumulada

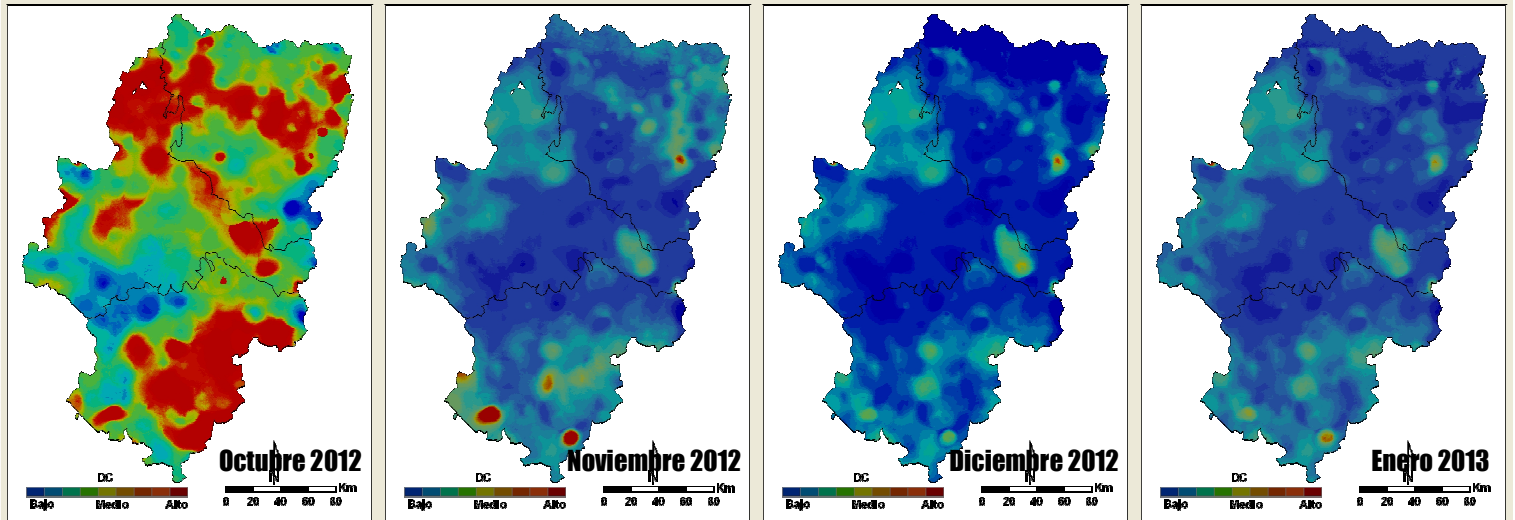


Figura 10, 11, 12 y 13. Índice de sequía registrado mensualmente de octubre a enero en Aragón

Hay que resaltar la espectacular bajada del Índice de sequía que se produjo durante los meses de octubre y noviembre gracias a las abundantes precipitaciones en toda nuestra región. Después, el DC se ha ido manteniendo en valores bajos hasta estos días, ya que continúan las lluvias en mayor o menor medida a lo largo del periodo.

ANETO 05/01/2013

La jornada previa al día de Reyes se produjo un incendio forestal provocado en el núcleo de Aneto, término municipal de Montanuy. Eran en torno a las 22:00 del día 5 de enero cuando se declaró el incendio, surgiendo diversos puntos de fuego a lo largo de una pista forestal, que se tradujeron en dos focos mayores, especialmente el situado en la parte oriental del valle que quemó en torno a 100 ha. El foco occidental fue controlado con rapidez por los medios de extinción, que se apoyaron para ello en una pista en zig-zag que atravesaba la ladera.

El foco este, de mayor tamaño, ascendió desde la parte media-baja en alineación con topografía y avanzando en contra del viento norte dominante, bien debido a efectos rotor frecuentes en relieves quebrados como éstos o simplemente por situarse en una posición no expuesta al viento dominante (*flechas amarillas*). De cualquier forma, el fuego alcanza la divisoria del Noguera-Ribagorzana y a partir de este momento parece seguir dos caminos. Por un lado continua propagando por topografía (*flechas azules*) y por otro se adentra algunas decenas de metros en descendente hacia el Noguera-Ribagorzana, probablemente favorecido ahora sí por el viento norte al que el fuego se expone al llegar a la parte alta (*flechas verdes cortas*). Una vez el incendio llega a una vaguada y alcanza el punto crítico asciende de nuevo por topografía al abrigo del viento general o por efecto rotor (*flechas verdes largas*). Podemos decir que las dos propagaciones terminaron en la parte más alta de la cresta, por lo que se podría determinar que el factor principal de propagación lo constituye la topografía y tal vez efectos rotor podrían jugar un papel importante.

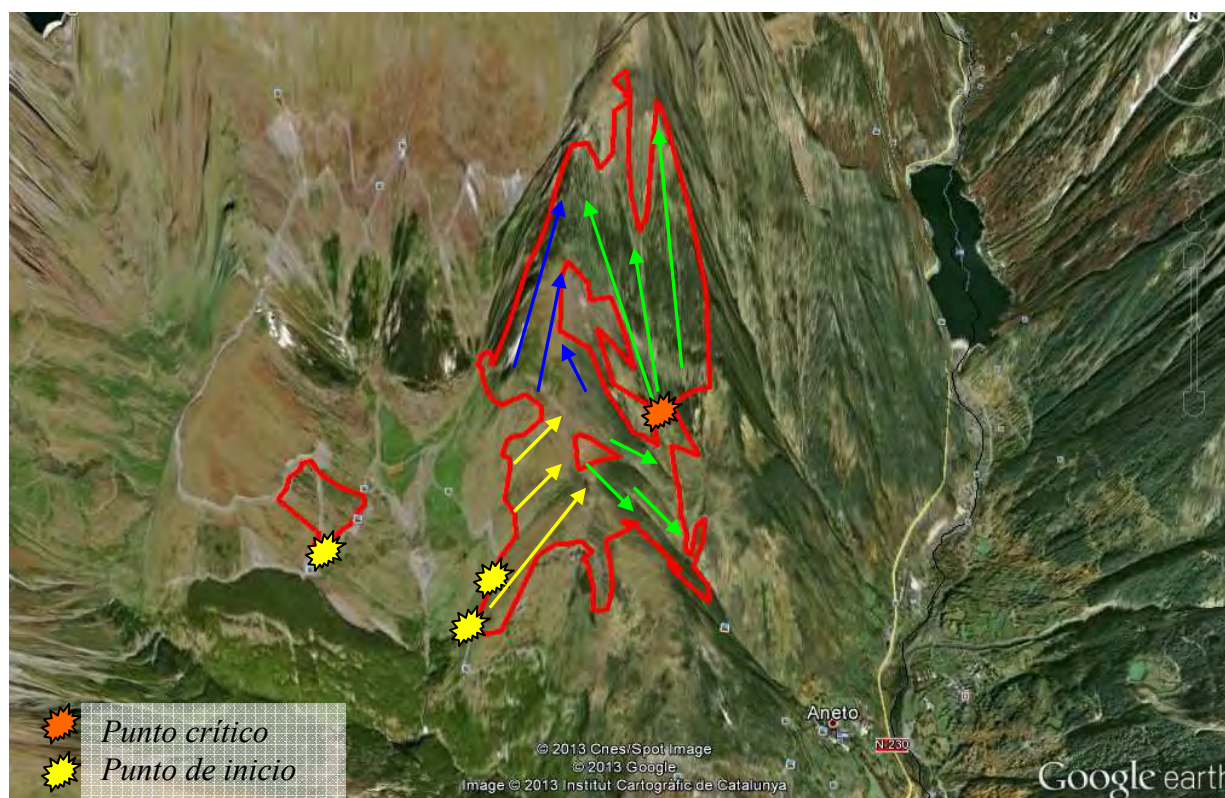


Figura 14. Perímetro del incendio de Montanuy del día 05/01/2013

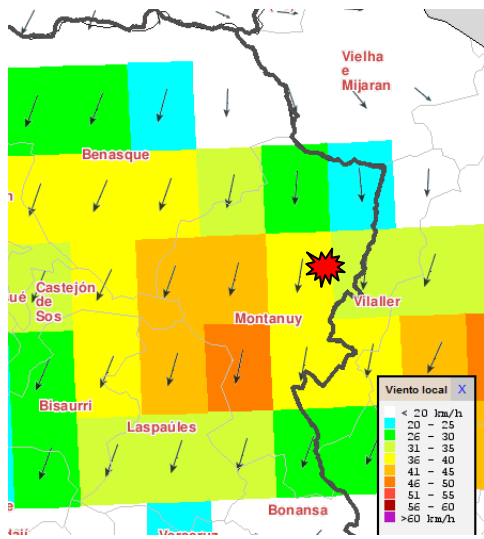


Figura 15. Viento local 22:00 (05/01/2013)

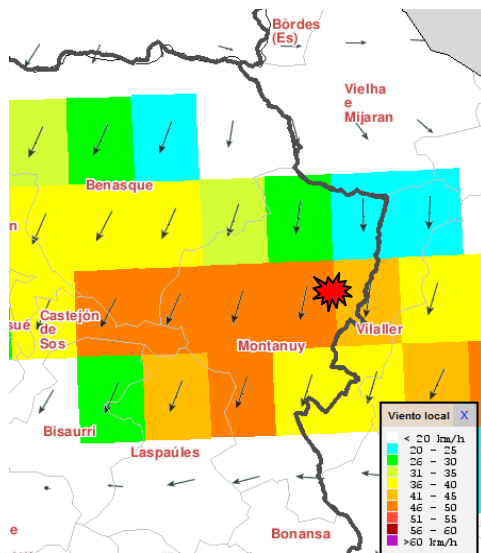


Figura 16. Viento local 01:00 (06/01/2013)

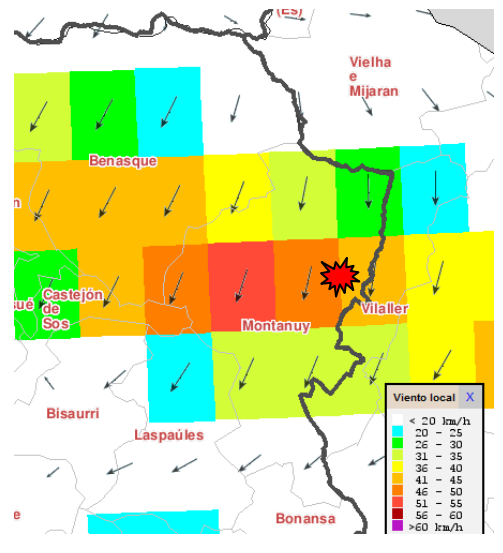
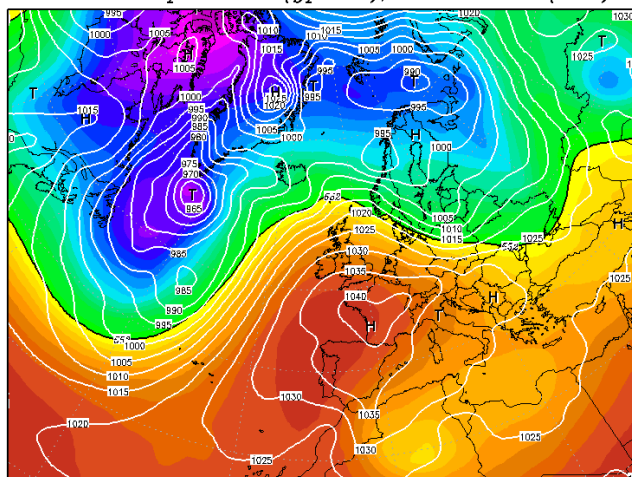


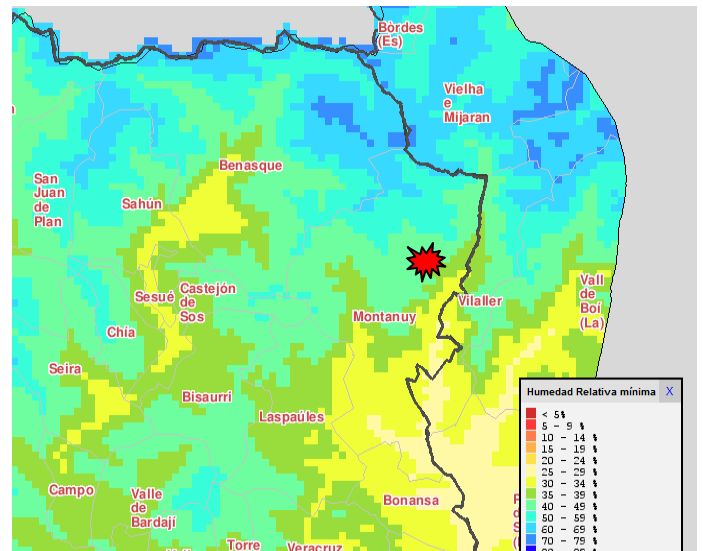
Figura 17. Viento local 04:00 (06/01/2013)

A la hora del incendio y en horas sucesivas el viento sopla de componente norte-noreste en el área incendiada con rachas de intensidad moderada-fuerte.

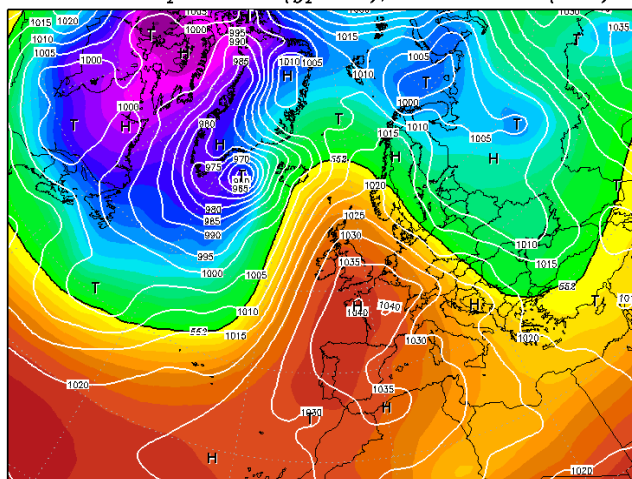
03JAN2013 18Z
500hPa Geopotential (gdam), Bodendruck (hPa)



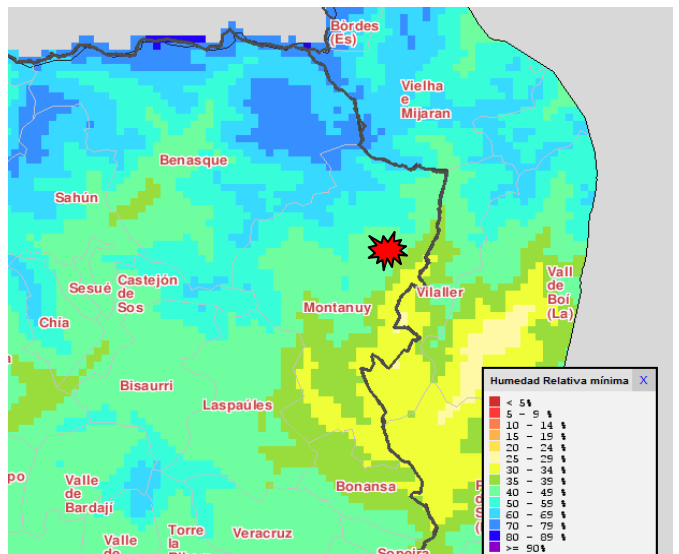
Daten: CFS Reanalysis
(C) Wetterzentrale
www.wetterzentrale.de



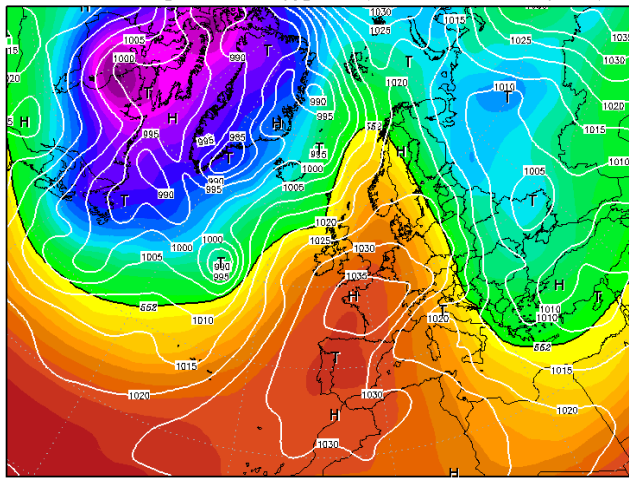
04JAN2013 18Z
500hPa Geopotential (gdam), Bodendruck (hPa)



Daten: CFS Reanalysis
(C) Wetterzentrale
www.wetterzentrale.de



500hPa Geopotential (gpdam), Bodendruck (hPa)



Daten: CFS Reanalysis
(C) Wetterzentrale
www.wetterzentrale.de

Figura 18, 19 y 20. De arriba abajo: Mapas sinópticos a 500hPa y en superficie de los días 3, 4 y 5 de enero de 2013 a las 18 UTC

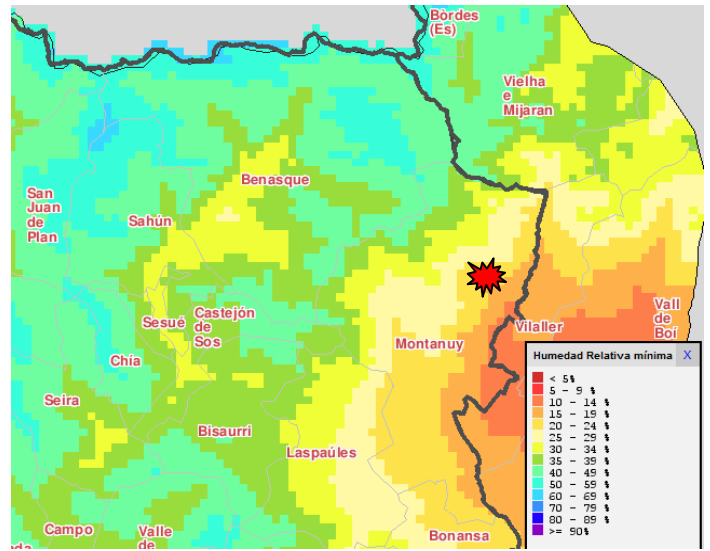


Figura 21, 22 y 23. De arriba abajo: Humedad relativa mínima de los días 3, 4 y 5 de enero de 2013 (%)

Los mapas sinópticos de los días previos y del día del incendio ubican un anticiclón centrado entre Francia y el norte peninsular cuyo radio de actuación se extiende por el oeste europeo. La disposición de las isobaras señala una clara advección de noreste a la zona pirenaica. Se trata de vientos resacos tras un largo recorrido por tierra firme a través de Europa occidental, desecación que todavía se refuerza más en las caras a sotavento de la cordillera pirenaica mediante efecto föehn. Esto ocurre en el área de incendio, como refrendan los mapas de humedades relativas mínimas durante esos días, que muestran porcentajes de humedad muy bajos en la zona.

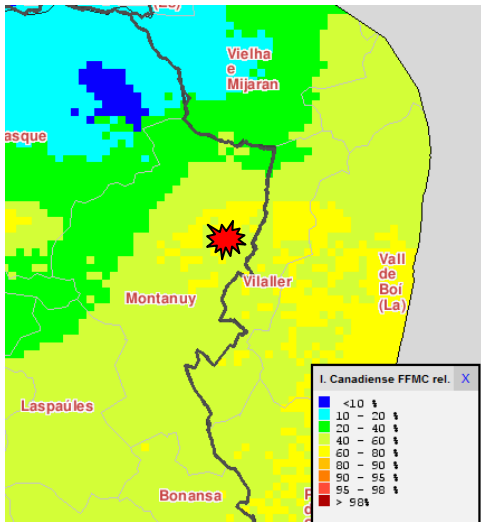


Figura 24. Índice Canadiense FFMC (%) día 03/01/2013

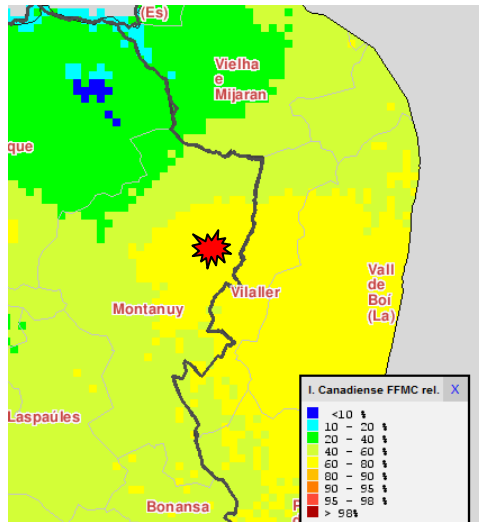


Figura 25. Índice Canadiense FFMC (%) día 04/01/2013

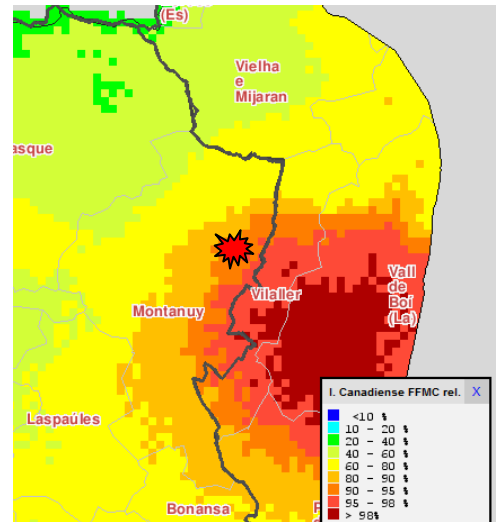


Figura 26. Índice Canadiense FFMC (%) día 05/01/2013

La importante bajada de humedad relativa en el área del incendio durante los días previos y especialmente el día de inicio repercute de manera clara en el contenido de humedad de los combustibles finos (vivos y muertos), que experimenta un descenso muy sensible.

En la secuencia de imágenes anterior se aprecia como el FFMC (Índice de humedad del combustible fino) se incrementa a lo largo del periodo, alcanzando su máximo el día 5. Este día coincide el mínimo contenido de humedad relativa de la serie con el valor de FFMC más alto, que implica combustibles finos más secos. Además, a esta desecación de combustibles finos ayudó un mes de diciembre bastante seco.

EN LOS PRÓXIMOS DÍAS...

Durante la próxima semana parece que seguirá una configuración atmosférica similar a la de los últimos días, con el anticiclón situado al oeste de España y bajas presiones entrando desde las Islas Británicas hacia el resto de Europa, que seguirán afectando a la Península, especialmente a su mitad septentrional.

De esta forma, es esperable que continúe el flujo de norte con vientos moderados o fuertes y temperaturas bajas, aunque el Domingo día 10 se prevé una pequeña ventana de vientos de oeste-suroeste.

En cuanto a la precipitación, las nevadas seguirán siendo frecuentes en la zona Pirenaica y más irregulares en el resto de nuestra Comunidad, además podrán darse en cotas relativamente bajas.

A finales de semana, es posible que las altas presiones penetren algo más en la Península, con lo que podría esperarse una cierto aumento de la estabilidad, aunque esto queda todavía lejos y las predicciones pueden variar.

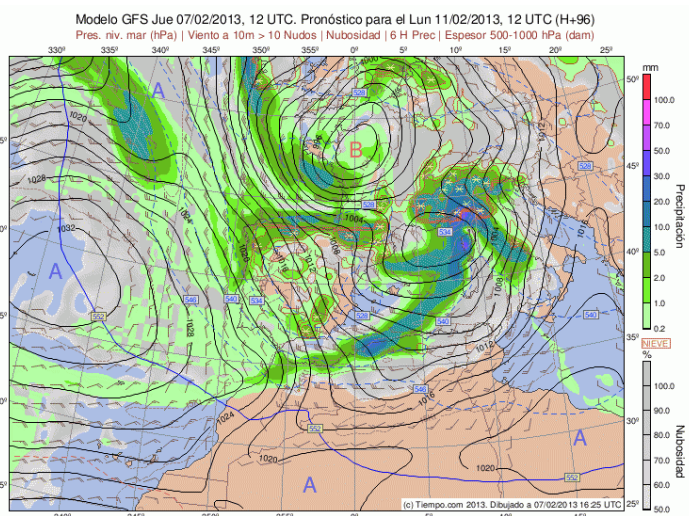


Figura 27. Presión a nivel del mar, Viento a 10 > 10 nudos, Nubosidad y Precipitación en 6 horas para el día 11 de febrero a las 12 UTC

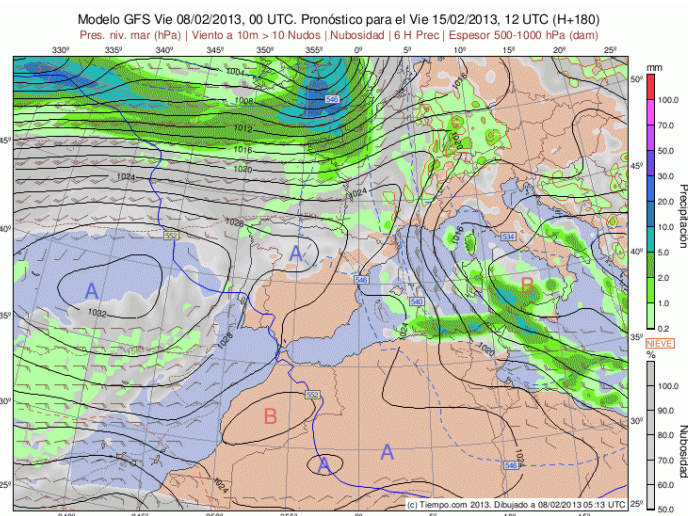


Figura 28. Presión a nivel del mar, Viento a 10 > 10 nudos, Nubosidad y Precipitación en 6 horas para el día 15 de febrero a las 12 UTC

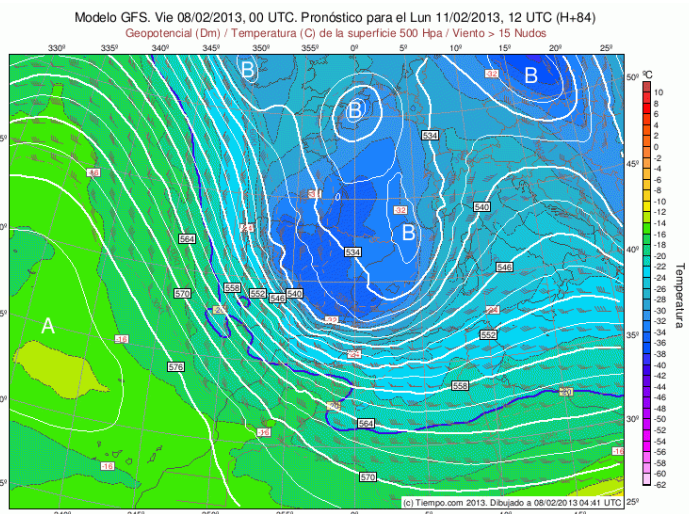


Figura 29. Geopotencial (Dm), Temperatura (°C) y Viento > 15 nudos a 500 hPa para el 11 de febrero a las 12 UTC

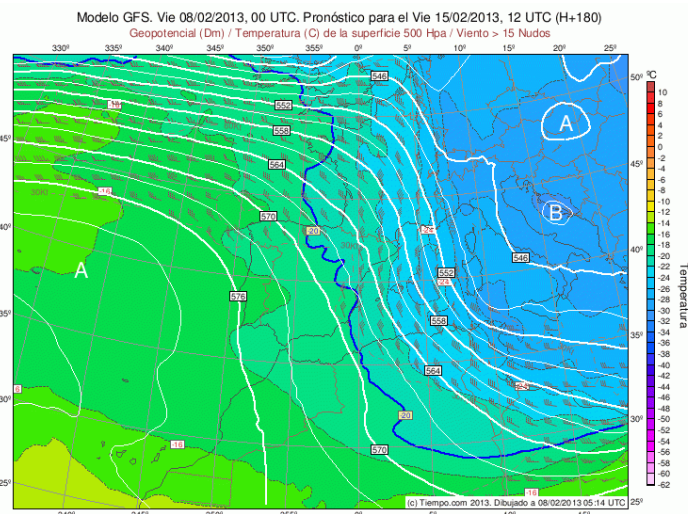


Figura 30. Geopotencial (Dm), Temperatura (°C) y Viento > 15 nudos a 500 hPa para el 15 de febrero a las 12 UTC

Modelo GFS. Vie 08/02/2013, 00 UTC. Pronóstico para el Lun 11/02/2013, 12 UTC (H+84)

Geopotencial (Dm) / Temperatura (C) de la superficie 850 Hpa / Viento > 20 Nudos

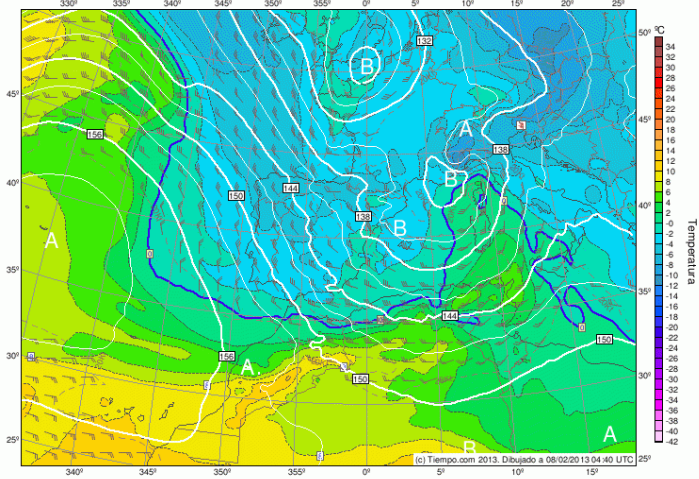


Figura 31. Geopotencial (Dm), Temperatura (°C) y Viento > 20 nudos a 850 hPa para el 11 de febrero a las 12 UTC

Modelo GFS. Vie 08/02/2013, 00 UTC. Pronóstico para el Vie 15/02/2013, 12 UTC (H+180)

Geopotencial (Dm) / Temperatura (C) de la superficie 850 Hpa / Viento > 20 Nudos

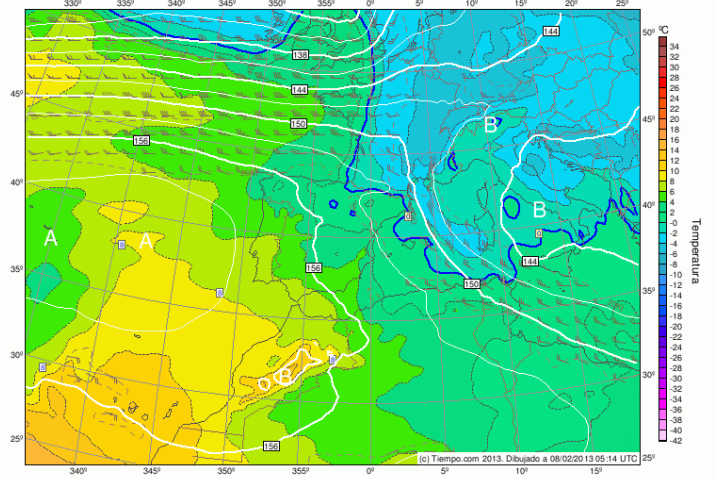


Figura 32. Geopotencial (Dm), Temperatura (°C) y Viento > 20 nudos a 850 hPa para el 15 de febrero a las 12 UTC